分子系統により分割された日本産ウラギンヒョウモン2型のケージペアリング実験 -- 2型は別種である --

北原 曜1)·伊藤建夫2)

1) 396-0014 長野県伊那市狐島4224-1

2) 390-8621 長野県松本市旭3-1-1 信州大学理学部

Two haplotypes of Argynnis (Fabriciana) adippe pallescens divided by molecular phylogeny shown to be distinct species by cage pairing experiments

Hikaru KITAHARA¹⁾ and Tateo ITOH²⁾

- 1) 4224-1 Kitsunejima, Ina, Nagano, 396-0014 Japan
- ²⁾ Department of Biology, Faculty of Science, Shinshu University, 3-1-1 Asahi, Matsumoto, 390-8621 Japan

Abstract Genetic analysis of female *Argynnis* (*Fabriciana*) *adippe pallescens* specimens (n=8) collected in Nagano Prefecture revealed two distinct haplotypes. Adult butterflies obtained from the fertilized eggs deposited by the females of both haplotypes were used in cage pairing experiments. While the morphological differentiation is small between two haplotypes, the shape of the dorsal lines of the mature larvae, the background color and mottled markings on the underside of the hindwings of the adults can be used for species identification. No copulation was observed between individuals of the two haplotypes in the cage pairing experiment, suggesting the existence of premating isolation between the two haplotypes.

Key words Argynnis (Fabriciana), cage pairing, molecular phylogeny, mt DNA, reproductive isolation.

はじめに

新川・石川(2005)は、日本各地のウラギンヒョウモン Argynnis (Fabriciana) adippe pallescensのmtDNAを分析し, ヤマウラギンヒョウモン(以下,ヤマ),サトウラギンヒョ ウモン(以下, サト), ヒメウラギンヒョウモン(以下, ヒメ)の3種に分割した.また、この遺伝子解析結果が、 体表炭化水素, ♂交尾器, 香鱗の違いとよく対応している とした. 3種の形態的差としては、斑紋は変異が激しく分 類の根拠とすることが難しいとし、主に翅型の違いを指摘 している. また同時に、極東地域などのウラギンヒョウモ ン類のmtDNAも分析し、ヤマはA. niobeを姉妹群とする系 統、サトとヒメはA. adippeやA. voraxの共通祖先から派生 した系統とした. これら3種のうち、ヒメを除くヤマとサ トは、長野県を含む我が国各地に分布し、比較的高標高地 にヤマ、低標高地にサトが主に分布し混棲するが、交雑は ないと推定している.この報告を受けて,白水(2006)の「日 本産蝶類標準図鑑」では、日本産ウラギンヒョウモンが2 種に分割されることに触れているが、正式な分類学的処置 がなされていないことから従来通り1種として掲載してい る. その後は日本産ウラギンヒョウモンに関する報告はな く、最新の日本産蝶類を紹介している日本チョウ類保全協 会編(2012)の「フィールドガイド日本の蝶」においても, ウラギンヒョウモンは1種としている. その他にも日本の ウラギンヒョウモンについて論じたものはある(猪又,

2014:西山,2015)が、いずれも分類、記載がきちんと行われていない現状では、1種と見なしておくしかないとしている。このように、日本産ウラギンヒョウモンは従来の1種のままとされることも多く、またその後の研究は進展がみられず、3種として認知すべきかどうかも含めて混沌とした状態が続いている。

このように、日本産ウラギンヒョウモンに3種存在するのかどうか、遺伝子等の違いが別種として真に交配が生じないレベルに達しているのか、交配した場合に生殖能力のあるF1が発生するのかどうかは全く未解明なままである。そこで本研究では、長野県内に遺伝子型から見て明瞭に異なる2系統のウラギンヒョウモンが存在するか否かを確認することと、またその2系統間に生殖隔離が存在するかどうかを交配実験により明らかにすることを目的とした.

材料および方法

2014年9月に長野県内の2ヶ所でウラギンヒョウモンを8年採集(表1)し、口径12cm、高さ12cmの円筒形プラスチックに1年ずつ分けて入れ採卵した。各母蝶は採卵後に遺伝子解析のため凍結保存した。

1. 母蝶の遺伝子解析

凍結保存した各個体の脚1本からDNAを抽出した。表2に示したように、得られたDNAについてプライマー Ron(F)

とHobbes(R)を用いて (Simon *et al.*,1994; Monteiro and Pierce, 2001), ミトコンドリア *COI* 遺伝子の一部の配列を増幅した後, 直接配列決定法により436塩基対の領域の配列を決定した.

2. 幼生期の飼育

各♀から得られた卵は、♀ごとに個別飼育し、幼生期の比較を行った。卵は、乾燥と過湿に注意して越冬させ、翌春孵化させた、孵化後すぐに、屋外の鉢に植えたアメリカスミレサイシンViola sororiaに接種し、以後蛹化するまで鉢の袋掛け飼育とした。蛹化後、室内に回収し羽化させ、一部は成虫の比較検討のため標本にし、他はケージペアリングに供した。

3. ケージペアリング実験

ケージは、底面以外の5面に寒冷紗を張った幅22.5cm、奥行き30cm、高さ30cmの直方体ケージとした。底面はベニヤ

板である。各ケージには、羽化後3日以上経過した2分と、当日または前日に羽化した1年を入れた。 % は早朝5時頃に 給餌したのちケージ内に入れた。ケージは、日射が始まる 6時前に長野県伊那市の屋外に設置し13時に回収した(図 1). この間、継続して観察を行い、交尾が確認されたら交尾している%0年をすぐ回収し、そのケージの実験を終了した。気温が高い日や日射が強い日は、成虫の活動が激しいので、10時頃給餌を挟んだ。この間、交尾が確認されない組み合わせについては、曇天や降雨日を除き3日間継続したが、13時から翌朝のケージペアリング開始までは%1年を分離して保管した。3日間交尾に至らない場合は「交尾なし」として終了した。ケージペアリングは、2015年6月 11~20日に行った。

以上のケージペアリングで得られた交尾済み♀は,短日処理後採卵した.採卵は各♀から200卵程度得て,卵内の幼虫形成の有無など状態を観察した.

表1. 採卵と交配実験に使用した「ウラギンヒョウモン」成虫♀.

Table 1. Female adult Argynnis (Fabriciana) adippe pallescens from which eggs were obtained and grown to adulthood for use in the cage pairing experiment.

Female identification	Collection site	Elevation(m)	Collection date	
Y1	Yabuhara ski resort, Kiso village, Nagano Pref.	1200	Sept. 2, 2014	
Y2	Ditto	1200	Sept. 2, 2014	
Y3	Ditto	1200	Sept. 2, 2014	
Y4	Ditto	1200	Sept. 2, 2014	
Y5	Ditto	1200	Sept. 2, 2014	
Y6	Ditto	1200	Sept. 2, 2014	
Y7	Ditto	1200	Sept. 2, 2014	
S 1	Nozokiishi, Suwa City, Nagano Pref.	1050	Sept. 6, 2014	

表2. PCRと塩基配列決定に用いたプライマー.

Table 2. Oligonucleotide primers used for PCR and sequencing reaction.

Primer name	Sequence	Reference
Ron(F)	5'-GGATCACCTGATATAGCATTCCC-3'	Simon et al., 1994
Hobbes(R)	5'-AAATGTTGNGGRAAAAATGTTA-3'	Monteiro and Pierce, 2001

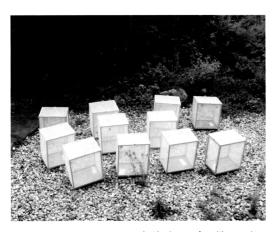


図1. ケージペアリング実験 (2015年6月12日). Fig. 1. Cage pairing experiment (June 12, 2015).

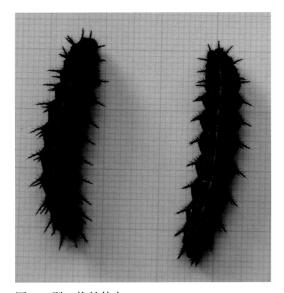


図2. 2型の終齢幼虫. 左:A型(Y3),右:B型(Y6)

Fig. 2. Mature larvae of each of the two haplotypes. Left: Haplotype A (Y3); right: Haplotype B (Y6).

結 果

1. 採集した♀の 遺伝子解析

表3に遺伝子解析に用いた母蝶の遺伝子型を示す. ミトコ ンドリア COI遺伝子の436塩基の領域を比較したところ. 二つの遺伝子型(A型とB型とする)が見出され、それら の間には11塩基対 (2.5%) の違いがあった. A型のY3, Y4. S1およびB型のY1. Y2. Y5. Y6. Y7はそれぞれ同一 の配列であった. 7♀を採集した木祖村藪原スキー場では, A型とB型が混在していた. 飼育に用いた卵は、A型がY3、 Y4, S1, B型がY1, Y2, Y6, Y7の各♀から得られた卵と した. なお現在のところ、日本産ウラギンヒョウモンにつ いては、長野県産の個体のミトコンドリア COI遺伝子の配 列が1件(本論文で比較した436塩基対の領域内では1塩基 対の置換があるがA型にきわめて近い. 比較のため表3の 最下段に示した)だけGenBankに見出されるほかは、詳細 な遺伝子配列の報告が行われておらず、また新川・石川 (2005)のヤマ、サトの遺伝子型の遺伝子配列が不明なため、 本論文ではAとBの2型として表現する.

2. 終齢幼虫と成虫の比較

図2に両型の終齢幼虫を示す. 一見して判るように、A型 とB型は非常に似ており、また個体変異もあるが、A型の 背線はB型のそれより細く、また各節の突起基部付近で不 明瞭となる.次に図3に成虫♂、図4に成虫♀を示す.両図 とも上2段が、A型のY3、Y4、S1由来のもの、下2段がB型 のY1, Y6, Y7由来のものである. まずるの翅表については, 翅形, 地色, 斑紋に明確な差は認めらなかった. 新川・石 川(2005)は、ヤマとサトでは翅表の地色と翅形が異なると しているが、個体変異があり明確な差は認められなかった. 一方、 & 翅裏については後翅で明確な差があり、地色がA 型では明るい黄緑色,B型では濃緑色で,またA型では4 ~6室の中室に接する部分に黄色班が認められるが、B型 では地色のままであり黄色班は認められない(図3の黄色 の丸印). さらに後翅裏面の銀紋はA型がB型より大きい. ♀については♂より判別が難しく、後翅裏面の地色がA型 は緑褐色, B型は褐色が強くより暗色となる.

表3. ウラギンヒョウモンのミトコンドリアCOI遺伝子の2遺伝子型の塩基配列の比較.

Table 3. Comparison of the nucleotide sequences of the two haplotypes of mitochondrial *COI* gene of *Argynnis* (*Fabriciana*) *adippe pallescens*.

Specimen					Nu	cleotid	le posit	ion					Hanlatuna	Accession
identification	77	89	101	165	185	207	215	242	284	353	383	390	Haplotype	number
Y1,Y2,Y5,Y6,Y7	С	С	T	T	С	A	С	T	С	С	T	С	Haplotype B	LC093260
Y3, Y4, S1	T	T	C	C	T	G	T	C	T	T	C	C	Haplotype A	LC093259
t017	T	T	C	C	T	G	T	C	T	T	C	T	(Haplotype A)	AB855832

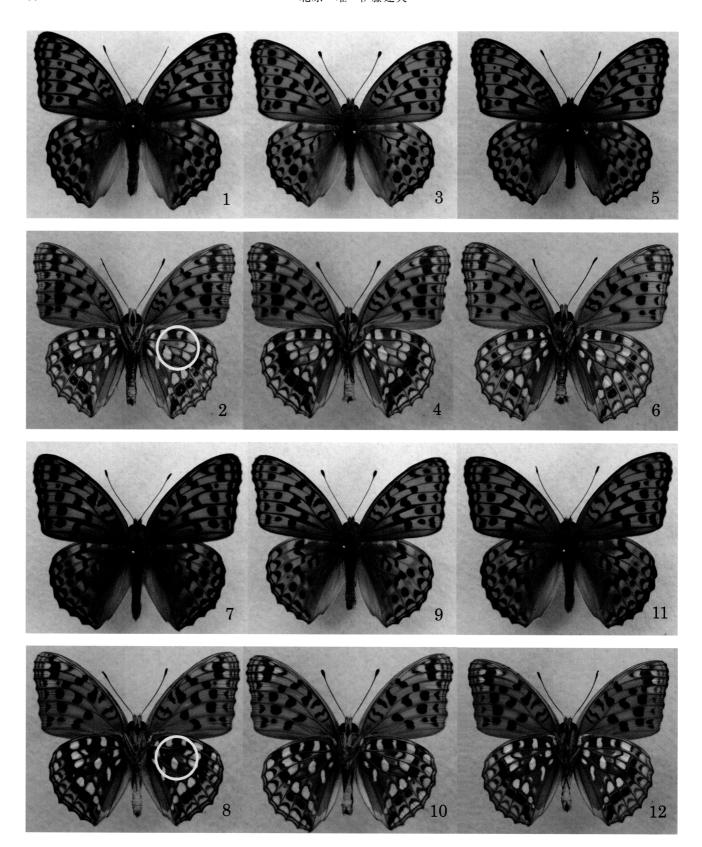


図3. 飼育羽化したA型(上2段)とB型(下2段)の♂表裏. 上2段:左よりY3, Y4, S1, 下2段:Y1, Y6, Y7. 黄色の丸はA型とB型の大きな相違点を示す.

Fig. 3. Emerged male adults of Haplotype A and Haplotype B.
Haplotype A: 1,2:Y3; 3,4:Y4; 5,6:S1. Haplotype B: 7,8:Y1; 9,10:Y6; 11,12:Y7.
A yellow circle shows a large difference between the two haplotypes, A and B.

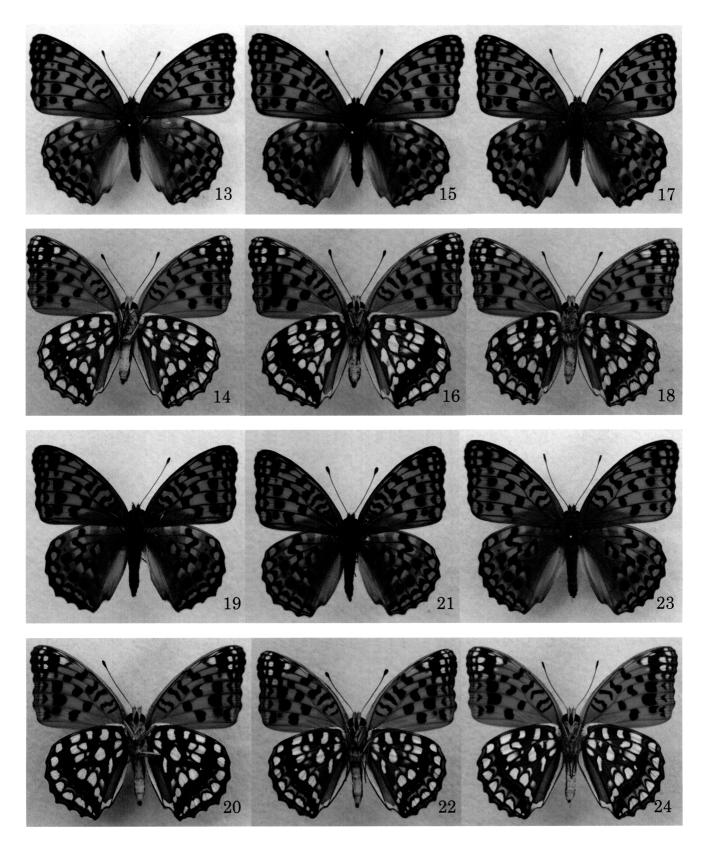


図4. 飼育羽化したA型(上段)とB型(下段)の♀表裏. 上段:左よりY3, Y4, S1, 下段:Y1, Y6, Y7.

Fig. 4. Emerged female adults of Haplotype A and Haplotype B. $\,$

Haplotype A: 13,14:Y3; 15,16:Y4; 17,18:S1. Haplotype B: 19,20:Y1; 21,22:Y6; 23,24:Y7.

表4. ケージペアリングの結果.

Table 4. Results of cage pairing experiment.

			Female					
			Haplo	type A	Haplotype B			
			Y3	S 1	Y1	Y6		
,	Hanlatrina A	Y3	1/1	1/1	0/2	0/1		
Mala	Haplotype A	S 1	1/1	1/1	0/3	0/1		
Male Hap	Hanlatura D	Y 1	0/1	0/2	1/1	1/1		
	Haplotype B	Y6	0/2	0/1	1/1	1/1		

The denominator indicates the number of cage pairing set $(2 \sqrt[3]{1})$ tested, and the numerator indicates the number of copulation events.

3. ケージペアリング実験

ケージペアリングに使用した成虫は、A型がY3とS1、B型がY1とY6とした。ケージペアリングはこれらの全ての組み合わせについて行い、繰り返しを $1\sim3$ 組行った。表4にケージペアリング実験の結果を示す。まず、同型雌雄間では全ての組み合わせで交尾が成立した。同型間では、2の入れてあるケージに早を入れ日射が当たってから $1\sim40$ 分(全8例の平均22分)で交尾が成立した。異型間では、3日間のペアリング期間でも全ての組み合わせについて交尾が成立しなかった。異型間の場合のケージ内の状況を見ると、2 早とも相手に無関心であるが、早に2 が偶然近づくと早は落下するように2 を避ける場合があった。

ケージペアリングによる同型間の交尾済み8♀から得られた卵は、どの組み合わせともほぼ全卵が産卵翌日には黄色から淡褐色に変色し受精卵であることが確認でき、さらにその後は卵内幼虫が形成されるのが確認された.

考察

遺伝子解析により分割されたA、B型は、ケージペアリング実験で異型間では交尾しないことから交配前隔離が確認された.このことから、両型は生物学的種概念から別種と判断される。A、B両型が、新川・石川(2005)の分割したヤマとサトのどれに該当するのかは、明確な遺伝子配列が示されていないため断定ができないが、A. niobe (JF853516など) やA. adippe (JF415669など)の遺伝子配列との比較から推定すると、ヤマがA型、サトがB型と考えられる。ケージ内の行動から、新川・石川(2005)が指摘しているように、おそらく両型で匂い物質が異なり交尾しないと考えられた。形態形質による両型の判別法については、地域変異が存在する可能性はあるが、新鮮な個体であれば、よけ前述したように斑紋で判別可能である。早については判別が難しいが、後翅裏面の地色で判別がある程度可能である。

おわりに

両型が互いに別種であると判断され、両型の成虫の識別法が提示されたため、これをもとに今後は全国的な両種の分布の違い、生態の違い、幼生期を含めた詳細な形態の違いを明らかにしていくべきであろう。また、もう1種、新川・石川(2005)のヒメウラギンヒョウモンがどのようなものであるのかも明らかにしていく必要があろう。

なお、大陸の近縁種との関係が不明確なため、学名については保留せざるを得なく、また和名についてもヤマ、サトがふさわしいのか、分布状況の全貌が明らかになっていないので保留にしたい.

末尾ながら、信州大学理学部の濱本健汰氏には遺伝子解析 にご協力いただいた、深く感謝申し上げる.

引用文献

猪又敏男, 2014. 連載・日本のチョウ (37) 大型ヒョウモン (4). 月刊むし(524): 23-32.

日本蝶類保全協会編,2012.フィールドガイド日本のチョウ. 327pp.,誠文堂新光社,東京.

Monteiro, A. and N. E. Pierce, 2001. Phylogeny of *Bicyclus* (Lepidoptera: Nymphalidae) inferred from *COI*, *COII*, and *EF-lalpha* gene sequences. *Molec. Phyl. Evol.* **18**: 264-281.

西山保典, 2015. Fabricianaウラギンヒョウモン属の問題. ツーイーソー(1532): 249-256.

新川 勉·石川 統, 2005. 分子系統による日本産ウラギンヒョウモン3種の形態. 昆虫と自然**40**(13): 4-7.

白水 隆, 2006. 日本産蝶類標準図鑑. 336pp., 学習研究社, 東京.

Simon, C., F. Frati, A. Beckenbach, B. Crespi, H. Liu and P. Flook, 1994. Evolution, weighting, and phylogenetic utility of mitochondrial gene sequences and a compilation of conserved polymerase chain reaction primers. *Ann. Entomol. Soc. Am.* 37: 651-701.

Summary

In 2005 Shinkawa and Ishikawa reported that the species *Argynnis* (*Fabriciana*) *adippe pallescens* on the main islands of Japan consists of two distinct species based on the mitochondrial DNA analysis. The morphological differences and reproductive isolation between the two species, however, have not been clarified since then.

Genetic analysis of female Argynnis (Fabriciana) adippe pallescens specimens (n=8) collected in Nagano Prefecture revealed two distinct haplotypes. Adult butterflies obtained from the fertilized eggs deposited by females of both haplotypes were used in cage

pairing experiments. While the morphological differentiation is small between the two haplotypes, the shape of the dorsal lines of the mature larvae, the background color and mottled markings on the underside of the hindwings of the adults can be used for species identification. No copulation was observed between individuals of the two haplotypes in the cage pairing experiment, suggesting the existence of premating isolation between the two haplotypes.

Based on the results presented in this paper we conclude that these two haplotypes are distinct species.

(Received August 21, 2015. Accepted November 12, 2015)